

斜張橋の静力学的解析

大阪市立大学

正員 工博 橋 善雄

"

正員 工修 ○中井 博

"

学生員 川根征雄

1 まえがき

斜張橋はケーブル取付点で弾性支持された連続橋たてで、その静力学的挙動は高次の不静定構造を解くことに歸着する。従来より応力法や変形法を用いて、この種の構造物の解析が数多く行なわれてきたが、構造形式が異なればそのつど方程式を立てなおす必要があるようと思われる。最近盛んに研究が行なわれている置元法²⁾を用いれば、弾性支承上の連続橋たては容易に解析できるが、斜張橋の場合バネ支承の取扱い方に多少問題がある。そこで、本文では特にこの点に重点をおき解析する。最後に、種々な形式の斜張橋の断面が変形量の影響線を求めるプログラムを作成する。

2 基礎方程式

置元法による弾性支承上の連続橋たての解析に関しては、すでに R. Kersten³⁾, 成岡²⁾および大地等によって発表されており、本文では記号・符号の定義はそれらの文献に従う。また、ケーブル・タワーおよびけたの静力学的挙動は線形であると仮定する。

さて、図1(a)は単なる弾性支承上の連続橋たてを示すものであるが、そのバネ作用はバネ位置における変形量のみの関数として表わすことができる。しかしながら、図1(b)に示す斜張橋では、けたがケーブルとタワーによって弾性支持されているので、バネ作用はその点だけの変形量のみならずタワーの曲げおよび軸力による変形量の関数、すなむち全ケーブルの不静定力 $X_1 \sim X_6$ の関数として表わされることになる。したがって、斜張橋のバネ作用はケーブル・タワーを統括して解析する必要がある。

そこで、以下では簡単のため、図1(b)に示す斜張橋の左側の系 ($X_1 \sim X_6$)について解析を進めることにする。もちろん、図示の構造形式以外の仕様の斜張橋でも解析できるが、詳細は省略する。

(1) ケーブルとけたとの連続条件

図2に示すようにオレ番目のケーブル取付け点のけたのたわみを w_i 、軸方向変位を u_i とすれば、

$$\frac{\partial \Pi}{\partial X_i} = u_i \cos d_i - w_i \sin d_i \quad \dots \dots (1)$$

ここに、 Π はけたとケーブルとの取付け点を切斷し不静定力 $X_1 \sim X_6$ を作用させたときのけたの全ひずみエネルギーとす。したがって、図1(b)に示すケーブルとタワーのケーブル不静定力による全ひずみエネルギーを Π' とすれば、

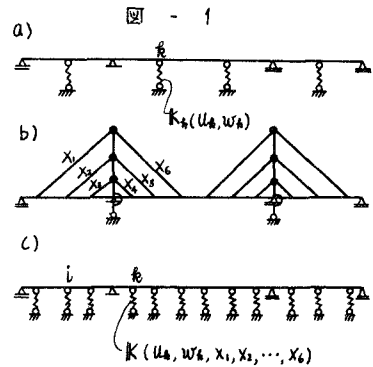
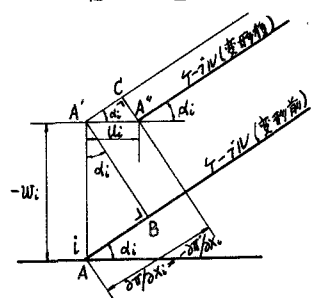


図 - 2



$$\frac{\partial \pi}{\partial x_i} = -\frac{\partial \pi'}{\partial x_i} \quad \dots \quad (2)$$

$$\pi' = \pi_c + \pi_{T,x} + \pi_{T,y} + \pi_{T,t} \quad \dots \quad (3)$$

ここに, π_c : 不静定力 $x_1 \sim x_6$ による 3 ケーブルのひすみエネルギー (ケーブル調整量, 温度変化を含む)

$\pi_{T,x}$: 不静定力 $x_1 \sim x_6$ の水平分力によるタワーのひすみエネルギー

$\pi_{T,y}$: 不静定力 $x_1 \sim x_6$ の鉛直分力によるタワーのひすみエネルギー

$\pi_{T,t}$: 温度変化によるタワーのひすみエネルギー

(2) ハネマトリックス

式(1)~(3)を用いてオーバン目の極点に作用するせん断力 Q_i , 軸力 N_i を求めれば, 次のようになる。

$$\begin{bmatrix} Q_i \\ N_i \end{bmatrix} = \frac{E_i A_i}{l_i} \begin{bmatrix} \sin d_i \cos d_i, -\sin^2 d_i, a_{13}, a_{14}, \dots, a_{18}, a_{19} \\ \cos^2 d_i, -\sin d_i \cos d_i, a_{23}, a_{24}, \dots, a_{28}, a_{29} \end{bmatrix} \begin{bmatrix} U_i, W_i, X_1, X_2, \dots, X_6, 1 \end{bmatrix}^T \dots \quad (4)$$

Q, N は変形量のみならず不静定力の関数となつてゐるので, 式(4)のマトリックスをハネマトリックスと呼ぶのは適切でないかも知れないが, 便宜上そのように名づける。

3 還元法による表示

(1) Feldmatrix

分割スパン l_k の左端から右端への物理量の伝達を行なう Feldmatrix は次のように表わす。

$$\begin{bmatrix} Y_k(l) \\ X \end{bmatrix} = \begin{bmatrix} F_k & O \\ O & E \end{bmatrix} \begin{bmatrix} Y_k(0) \\ X \end{bmatrix} \quad \dots \quad (5)$$

ここに, F_k : 軸力を考慮して 7 行 7 列より構成された基本の Feldmatrix

O : ゼロマトリックス, E : 単位マトリックス

$$Y_k(0) = [U_k(0), W_k(0), \varphi_k(0), Q_k(0), N_k(0), 1]^T \quad (\text{列ベクトル})$$

$$X = \underbrace{[R^s, H^s, \dots, M^s, \varphi^s]}_{n \text{ 個}}, \underbrace{[X_1, X_2, \dots, X_n]}_{n \text{ 個}}^T \quad (\text{列ベクトル})$$

(2) Punktmatrix

分割スパン l_k から l_{k+1} への伝達は次の Punktmatrix で行なう。

$$\begin{bmatrix} Y_{k+1}(0) \\ X \end{bmatrix} = \begin{bmatrix} U_k & S_k \\ O & E \end{bmatrix} \begin{bmatrix} Y_k(l) \\ X \end{bmatrix} \quad \dots \quad (6)$$

ここに, U_k : 7 行 7 列よりなる基本の Punktmatrix

S_k : 不静定マトリックスと名づけよ。

U_k, S_k の中には式(4)より誘導されたハネマトリックスの対応する項が入る。

(3) Feldmatrix と Punktmatrix の乗算

式(5), (6) の右辺は一般に次式のような形で表わされる。

$$\begin{bmatrix} Y_k(l) \\ X \end{bmatrix} = \begin{bmatrix} A & B \\ O & E \end{bmatrix} \begin{bmatrix} Y_k(0) \\ X \end{bmatrix} \quad \dots \quad (7)$$

ここに, $Y_k(l)$: けた左端の境界条件による未知量のベクトル

A, B : 演算結果ある数値が入ったマトリックス

したがって, Feldmatrix と Punktmatrix との乗算は次の公式で演算すればよいが, 結局オーバン

のみを演算すればよく、オ2行は演算しなくてもよい。以上によって、けた左端の物理量をけた右端に伝達する。

$$\begin{bmatrix} Y_{k+1}(0) \\ X \end{bmatrix} = \begin{bmatrix} U_k A & U_k B + S_k \\ 0 & E \end{bmatrix} \begin{bmatrix} Y_k(0) \\ X \end{bmatrix}, \quad \begin{bmatrix} Y_k(l) \\ X \end{bmatrix} = \begin{bmatrix} F_k A & F_k B \\ 0 & E \end{bmatrix} \begin{bmatrix} Y_k(0) \\ X \end{bmatrix} \quad (8)$$

(4) 境界条件・連続条件

けた左端における3つの未知量を求める条件式は、けた右端の既知の3つの境界条件によって設定する。また中間支点において生じる未知ステップ量はそれに関連する量の境界条件(例えは剛支点であればせん断力かステップし、それに関連する量たるみ $w=0$)により未知ステップ量の数個に対応する3条件式を立てればよい。また、けたとケーブルの取付点における3個の連続条件式は式(1)~(3)より次のようになる。

$$U_k \cos d_i - W_k \sin d_i + \frac{a_{13} X_1}{\sin d_i} + \frac{a_{14} X_2}{\sin d_i} + \dots + \left(\frac{a_{1,i+2}}{\sin d_i} - \frac{f_i}{E_i A_i} \right) X_i + \frac{a_{15}}{\sin d_i} = 0 \quad (9)$$

したがって、以上 $3+n+3$ 個の条件式を連立方程式として解けばよい。

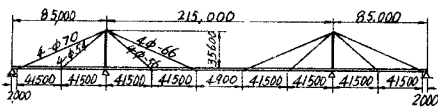
4 フローチャート

Muller-Breslauの原理を用いて断面力、変形量の影響線を求めるためのフローチャートを図-3に示す。この図からわかるようにInput Dataを変えるだけで種々の型式の斜張橋が解析できるようにしてある。

5 計算結果

図-4に示す尾道大橋をモードとして斜張橋について解析した結果を図-5に示す。なお、数値計算は Burroughs B5500 の Extended Algol を使用して行った。

図-4 モード橋のテクニション



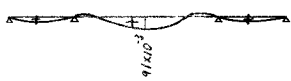
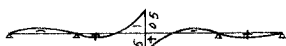
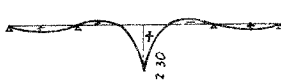
けた $I = 0.21097 \text{ (m)}^4$ $\gamma - A = 0.08826 \text{ (m)}^{-2}$
 $E = 2.1 \times 10^7 \text{ (N/m}^2)$ $I = 0.01993 \text{ (m}^4)$ $E = 1.6 \times 10^7 \text{ (N/m}^2)$

図5(a) 中央径向中央の曲げモーメント
の影響管線 (tm)

図5(b) 中央径向中央のせん断力
の影響管線 (t)

NM: けたの分割すべき数

図5(c) 中央径向中央のたわみ
の影響管線 (m)



参考文献

- 1) B. Stafford Smith : The single-plane cable-stayed girder Bridge. Proc Instn Civ Engrs. 1967 37(May) p. 183~194
- 2) 成岡長吉: 運河橋に於ける斜張橋の解析、土木学会中部支部研究発表会 昭和42年11月
- 3) R. Keusten : Das Reduktion-Verfahren der Baustatik 4) 大地 電子計算機による構造解析、橋梁 1966.8
- 5) 尾道大橋設計概要; 日本道路公团尾道大橋工事務所